

Fig 1

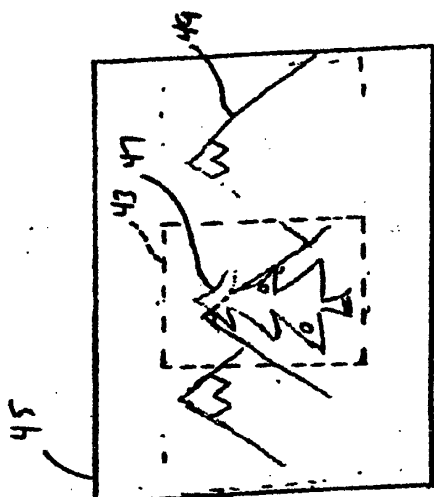
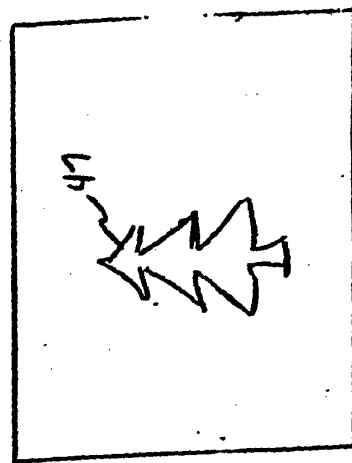
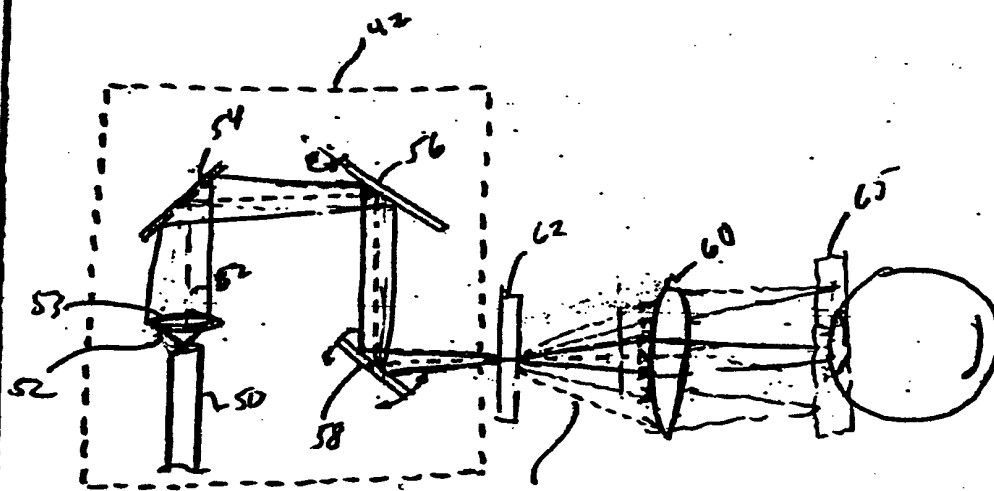


FIG 2A



28%



63
FIG 3

A

B

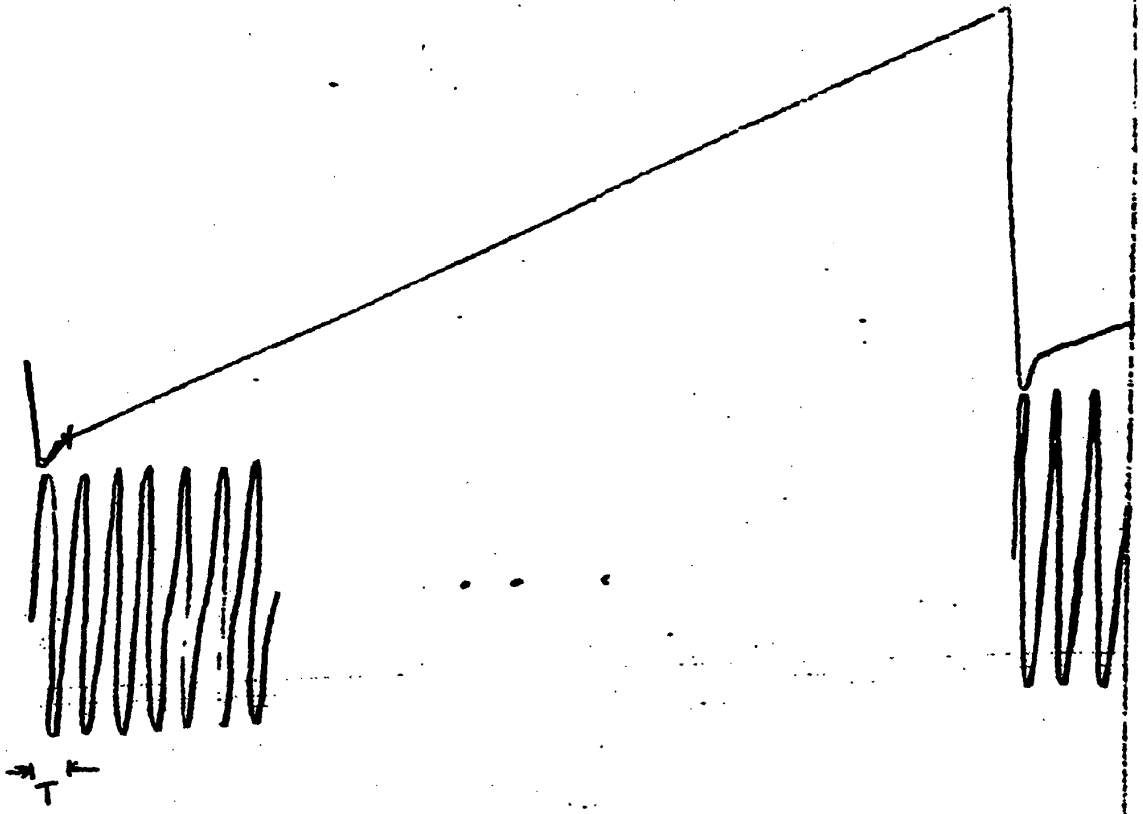


Fig. 4.

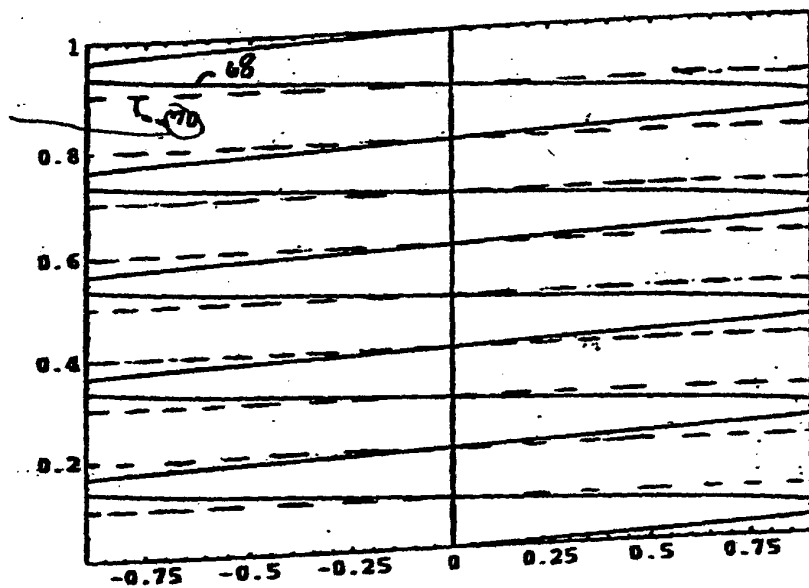


FIG 5

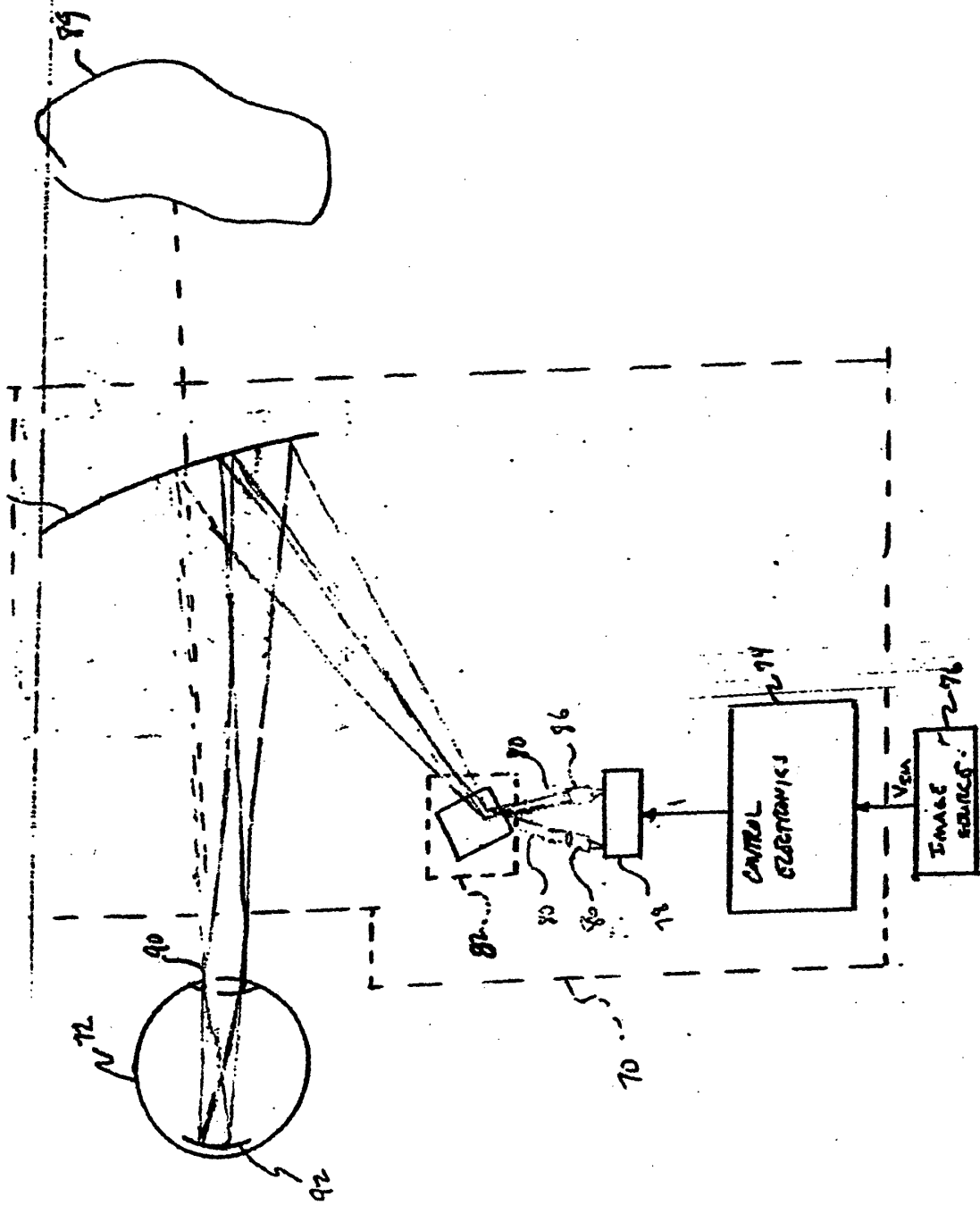


FIG 6

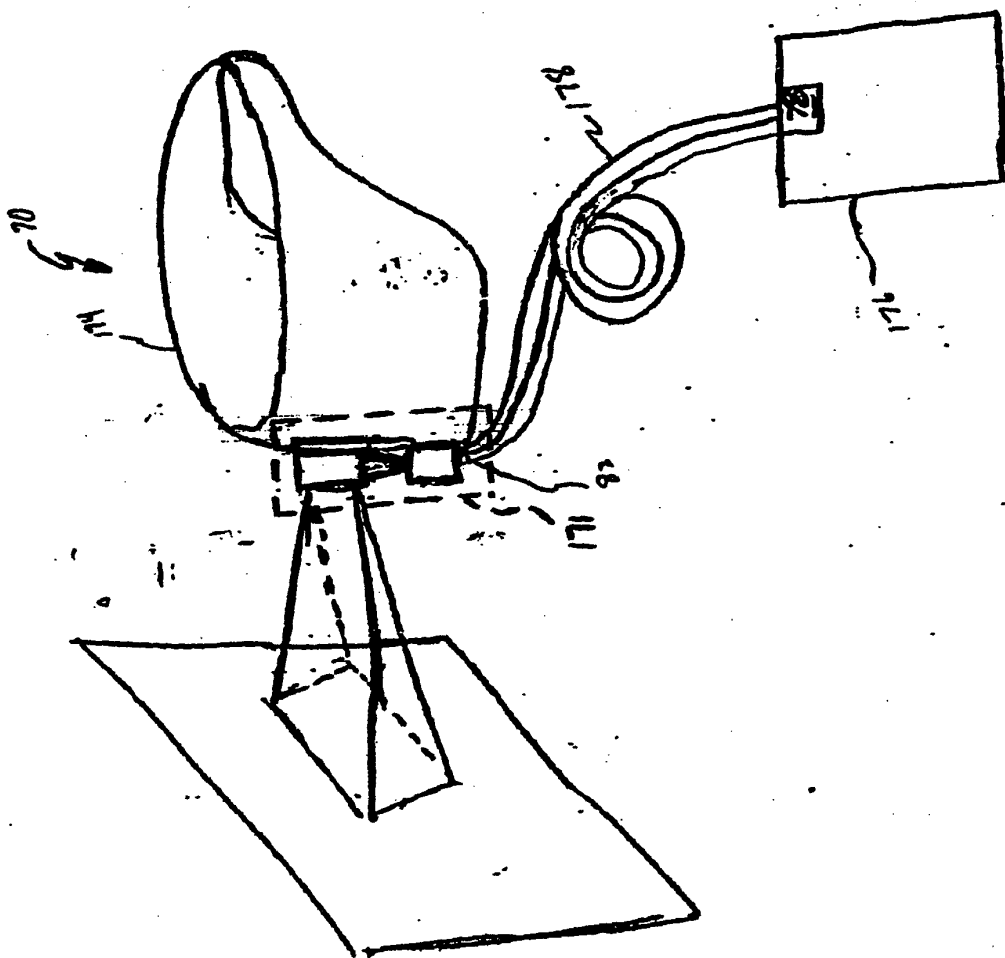


FIG. 7

8

8

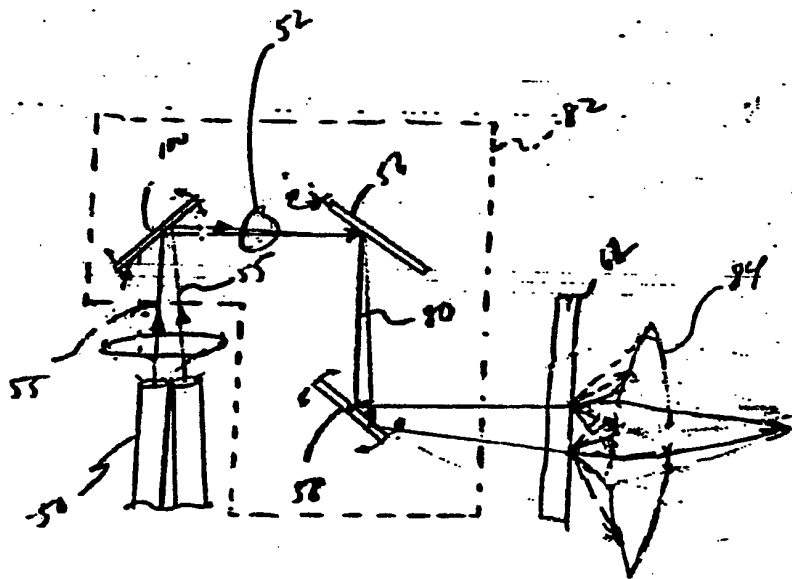


FIG. 8

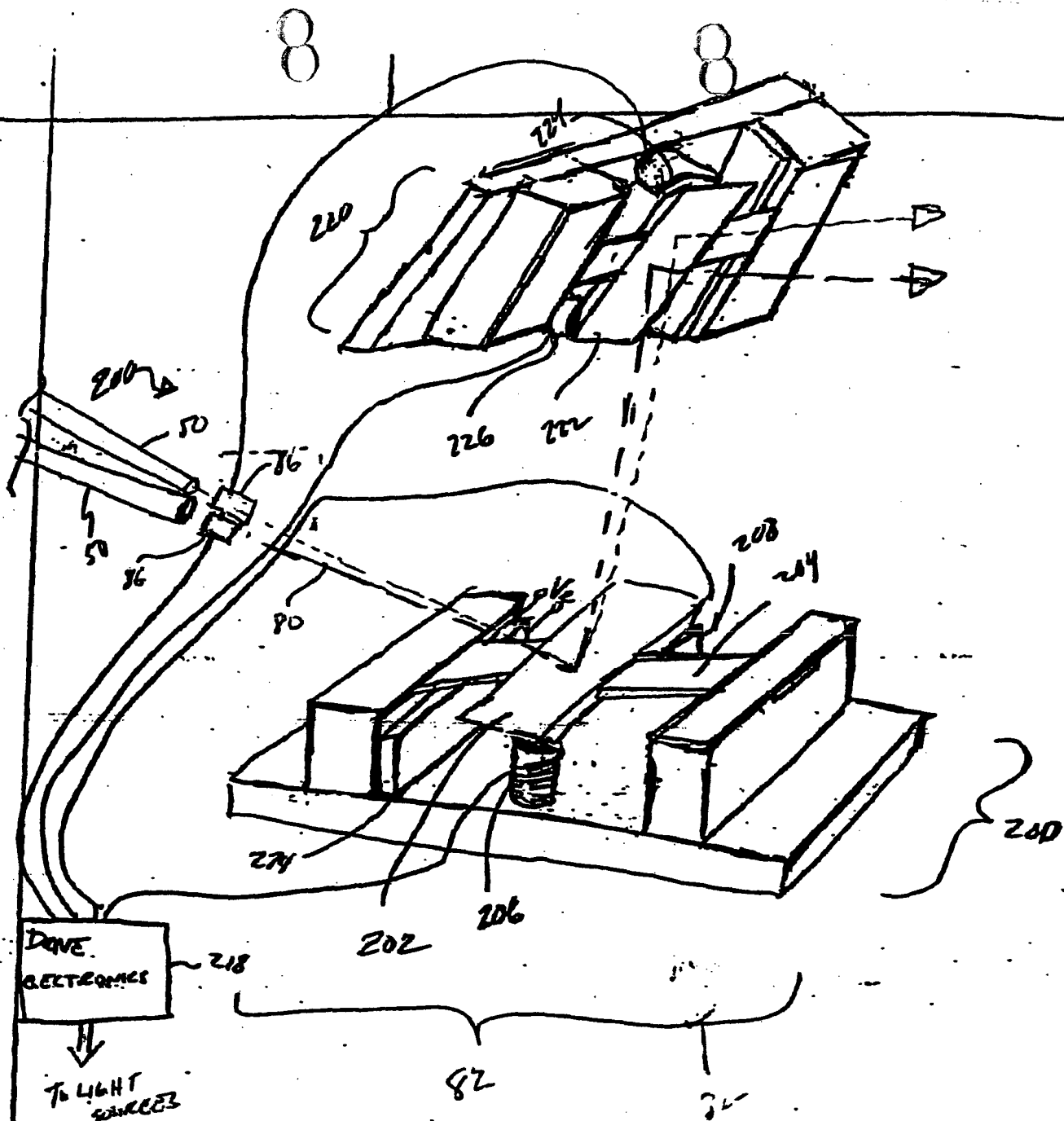
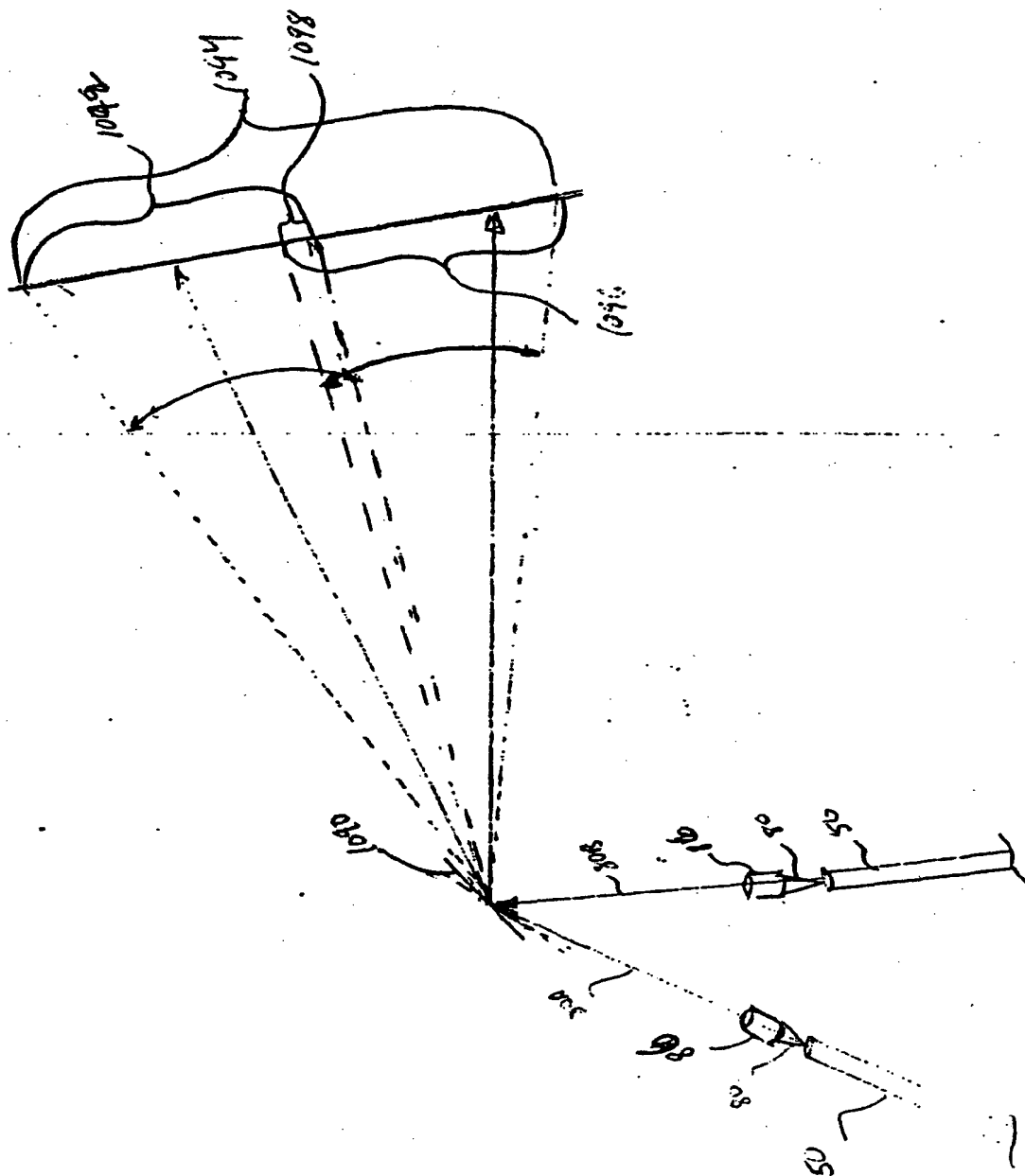


FIG 9



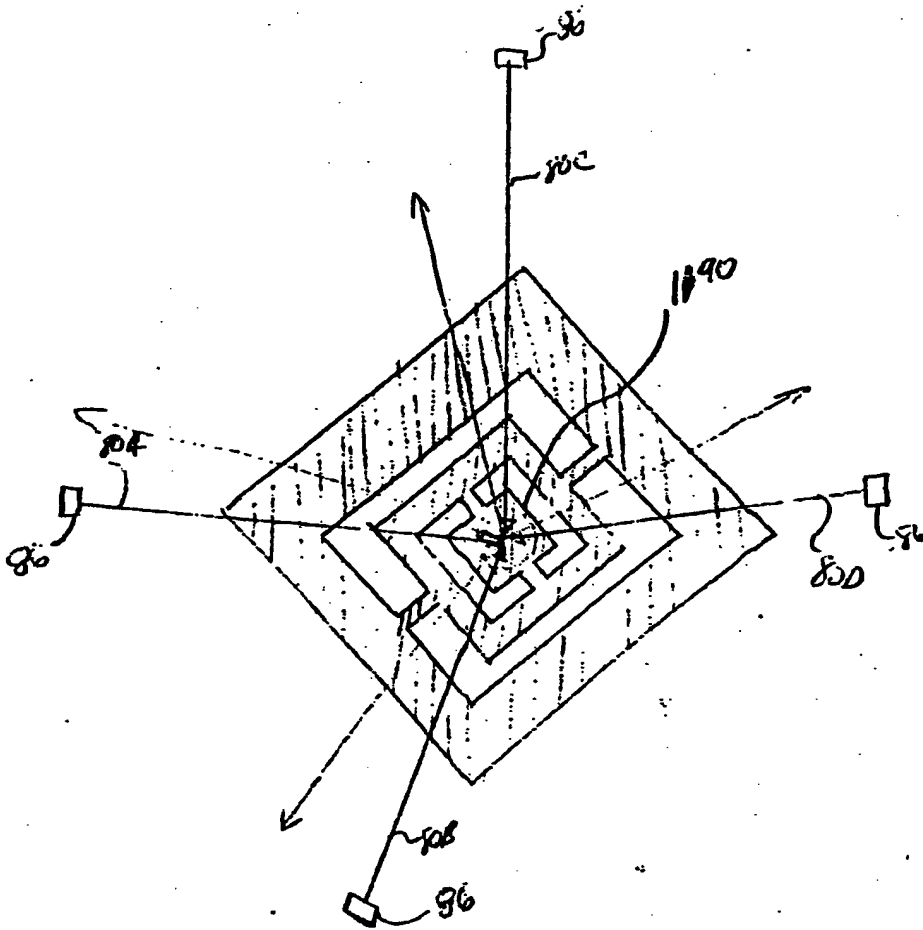


FIG. 11

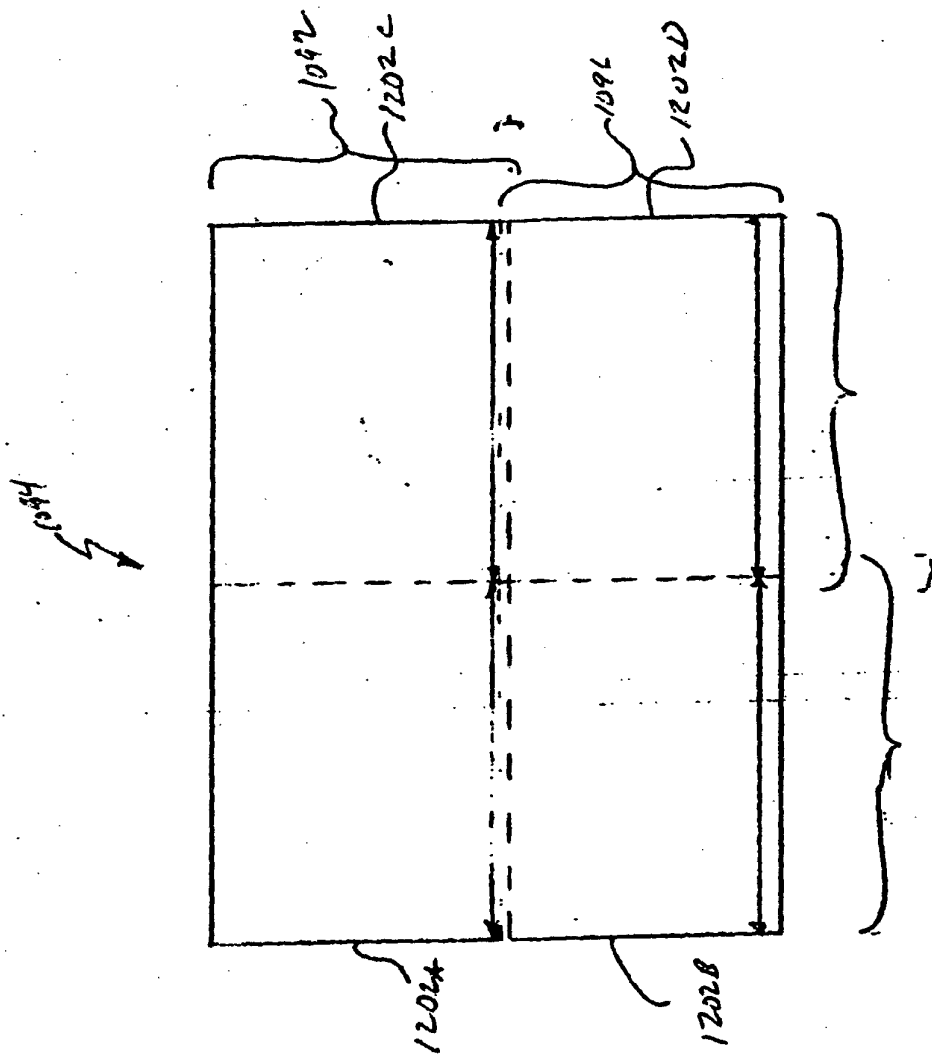


FIG. 72

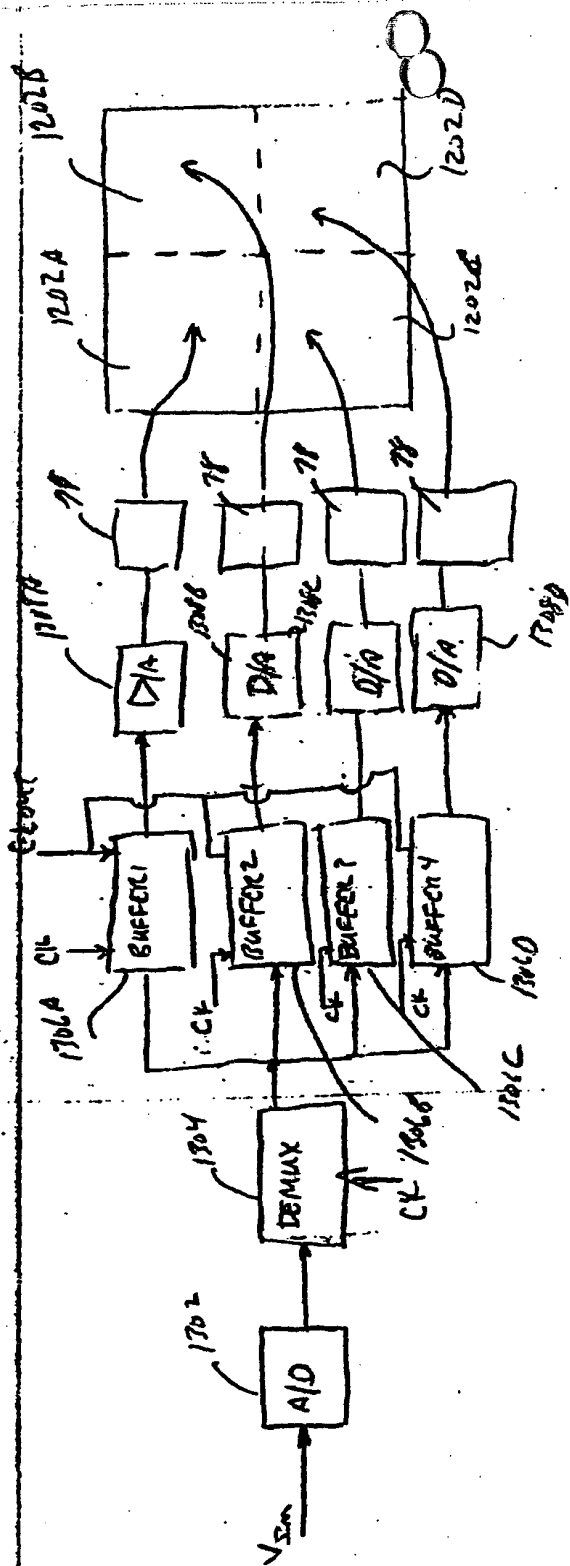


FIG 13

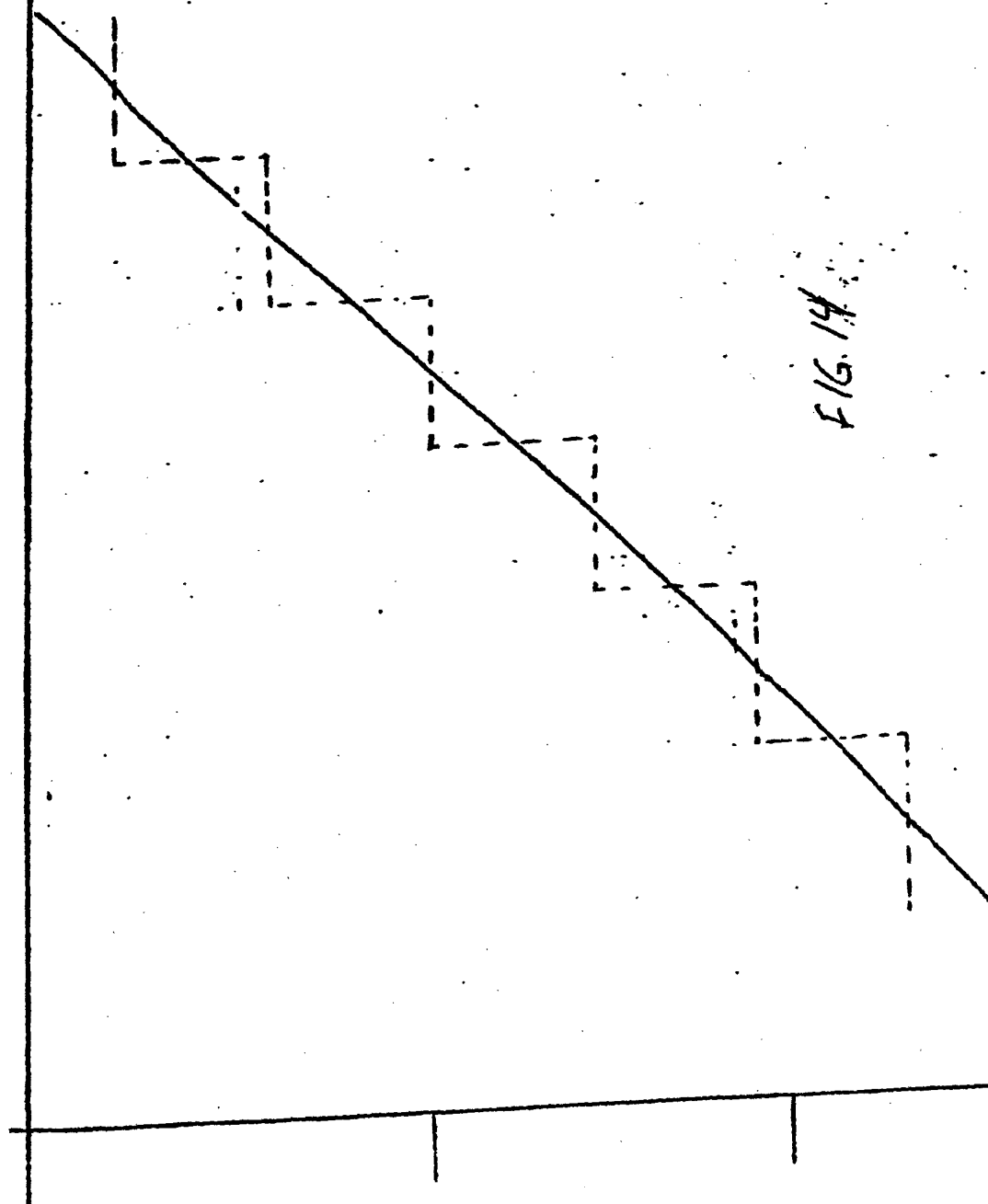


FIG. 14

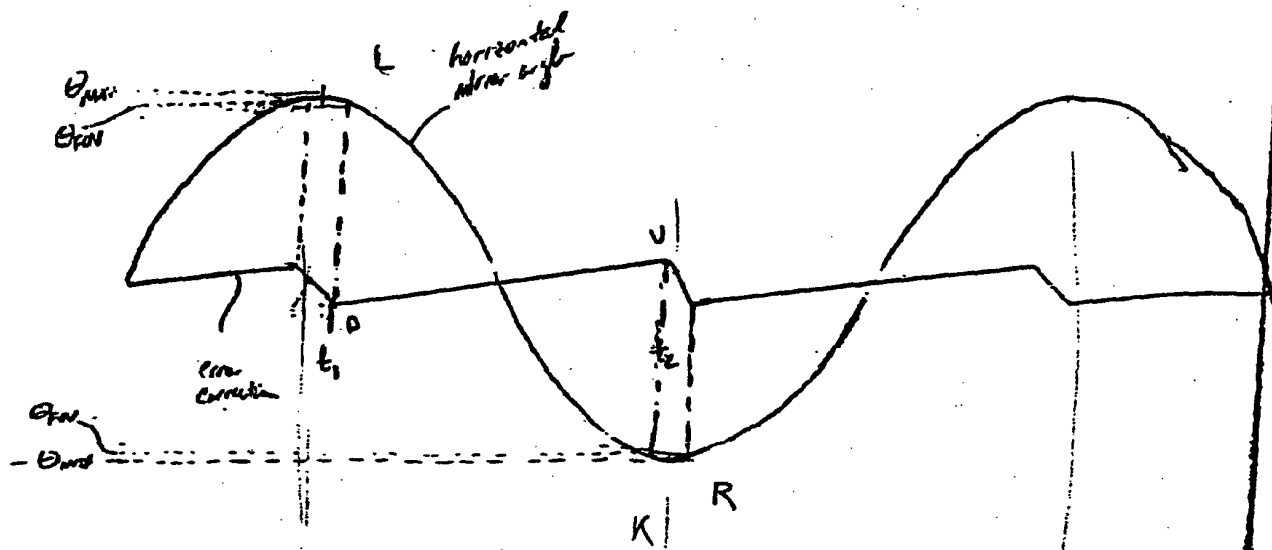


FIG 15

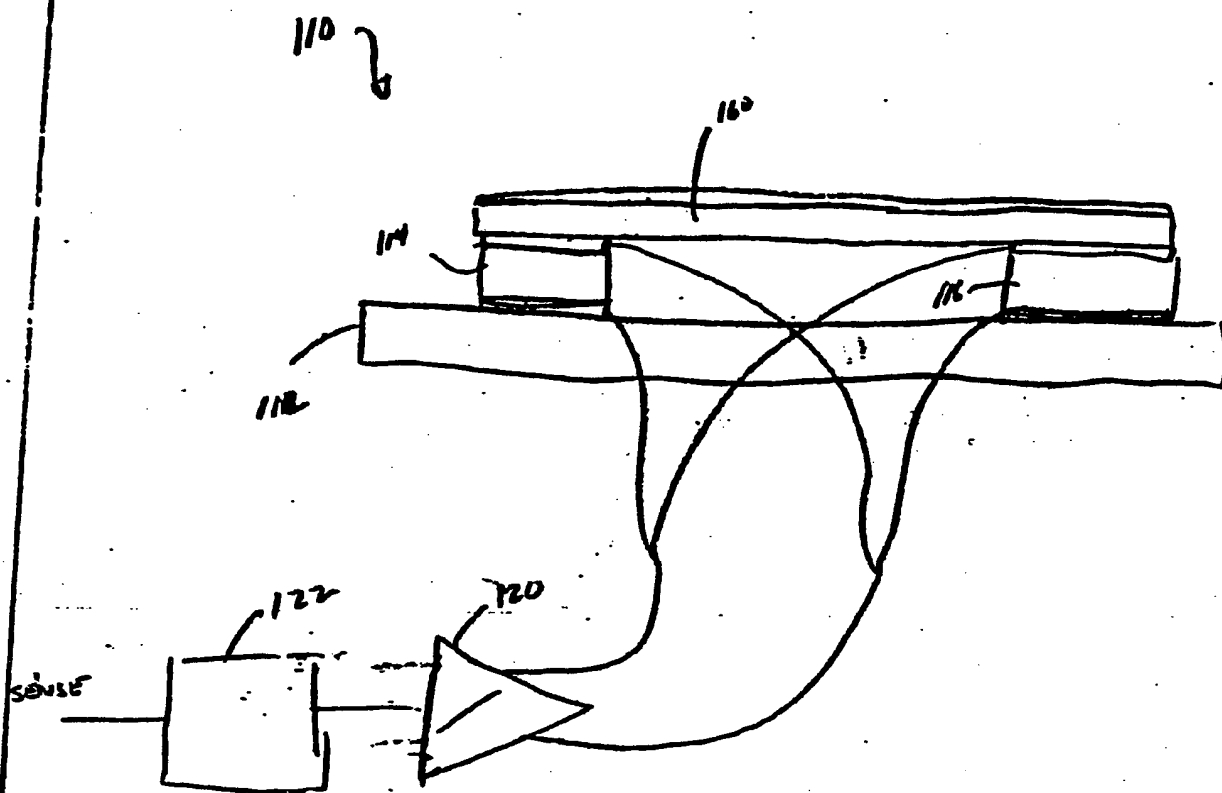


FIG 1.6

8

8

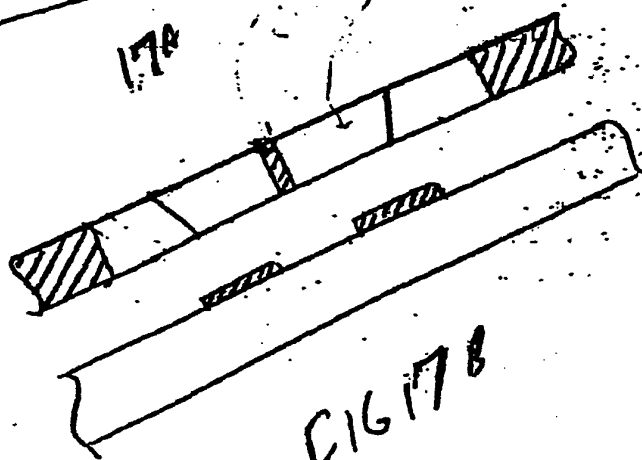
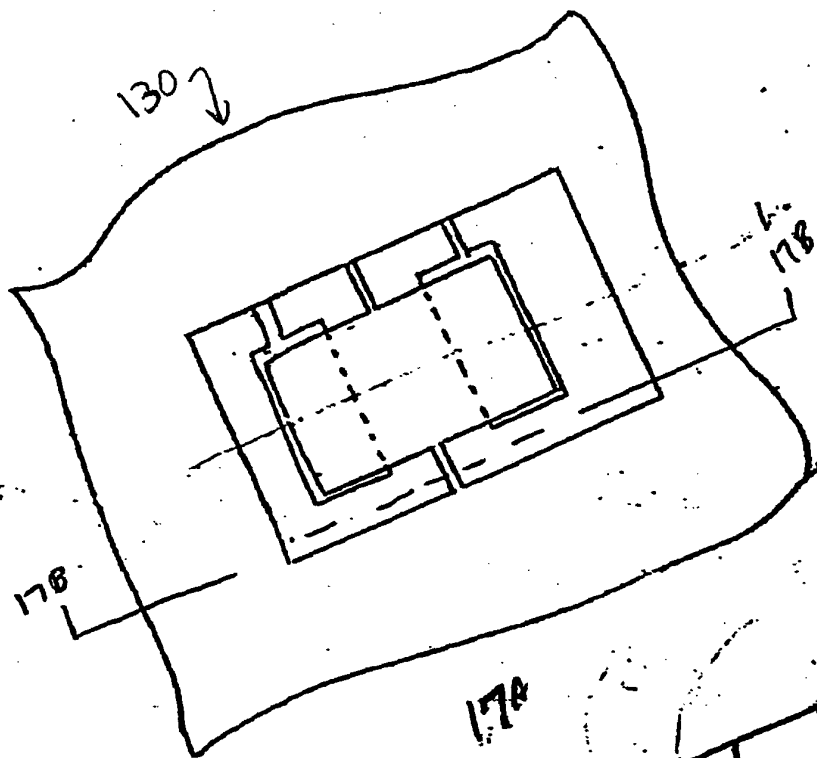


FIG 17B

8

8

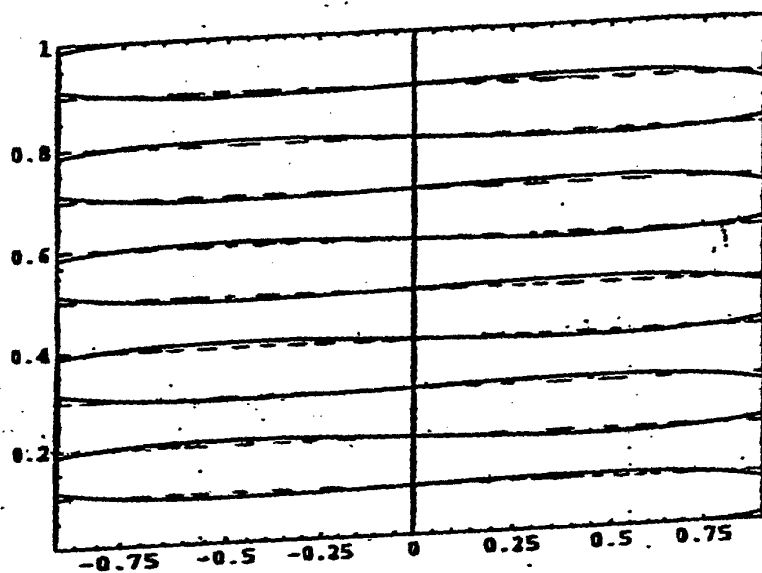


FIG 18

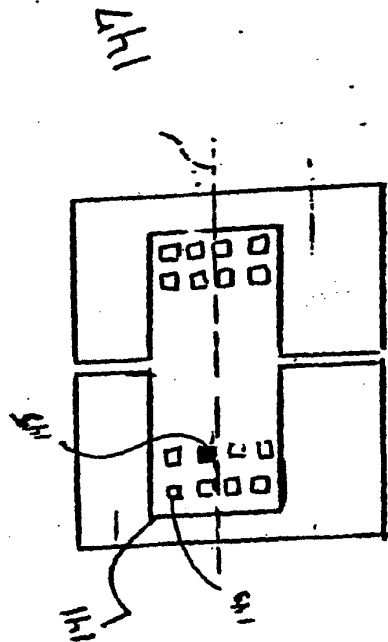


FIG 19

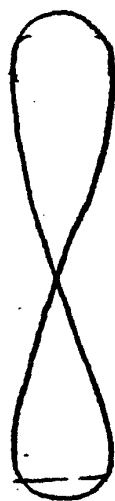


FIG 20

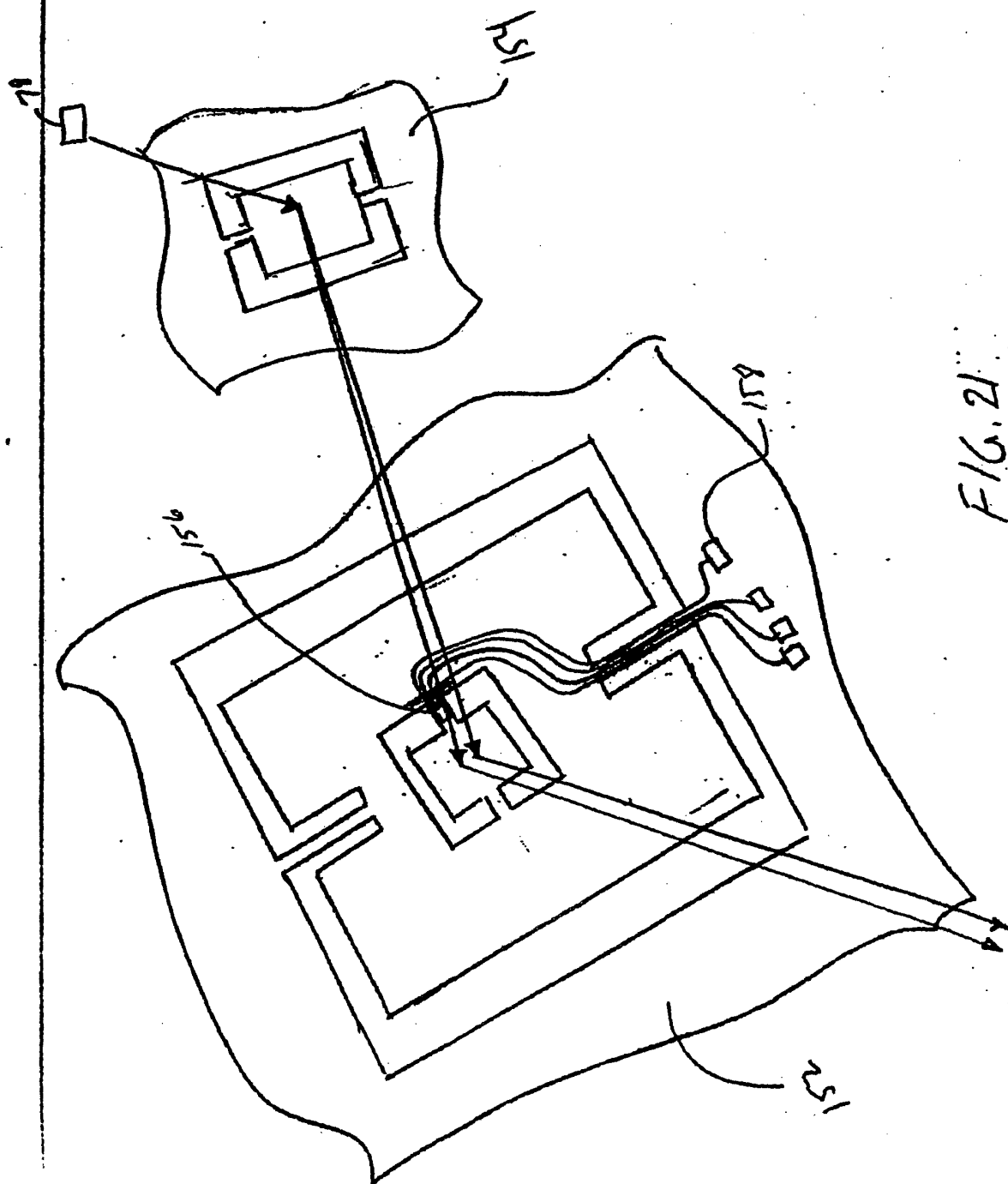
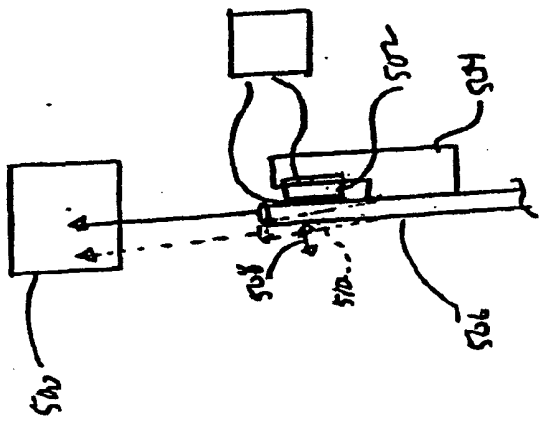
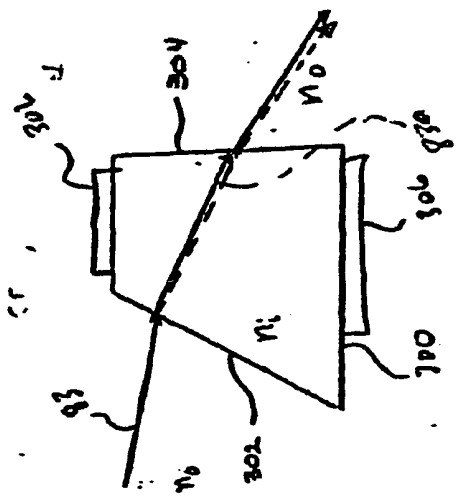


FIG. 21



F16,22



F1623

8

8

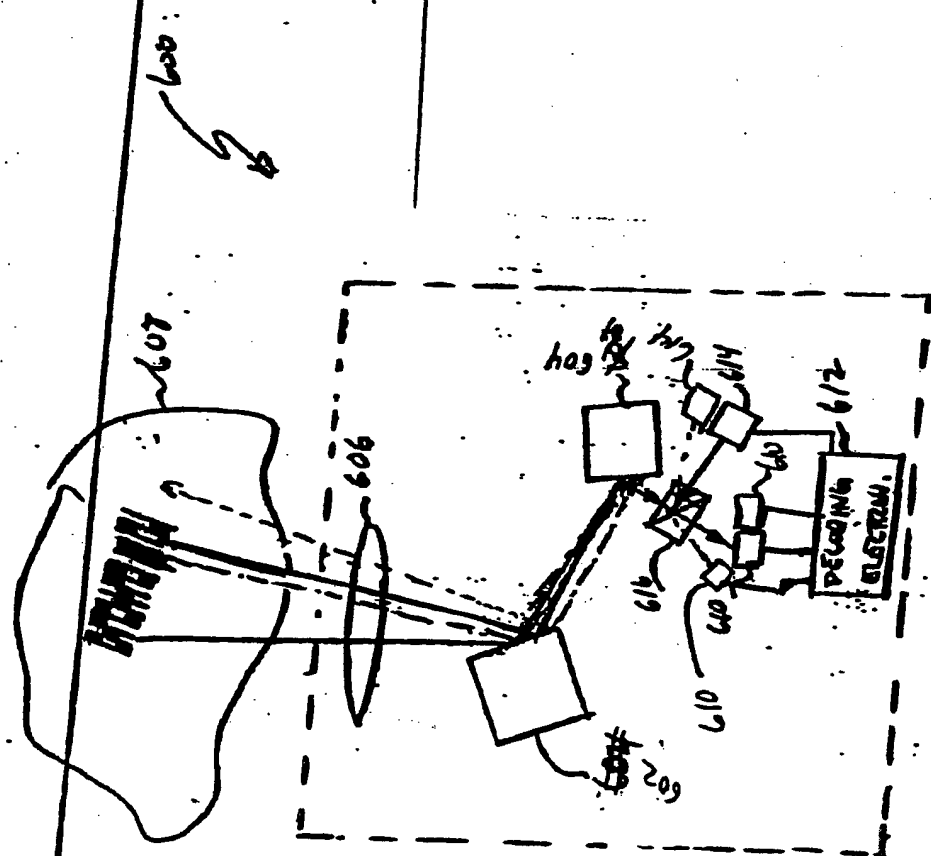


FIG. 2

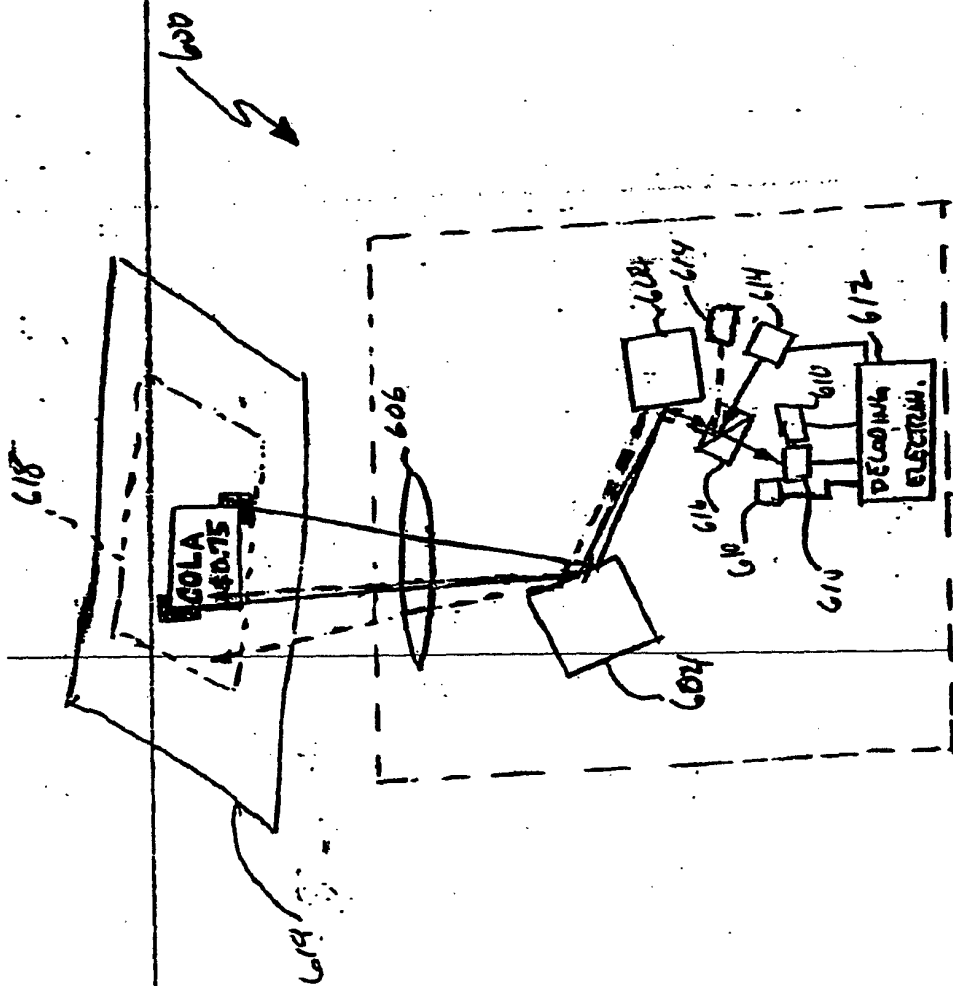
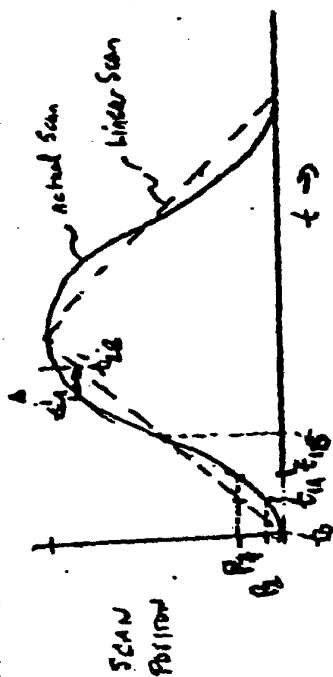
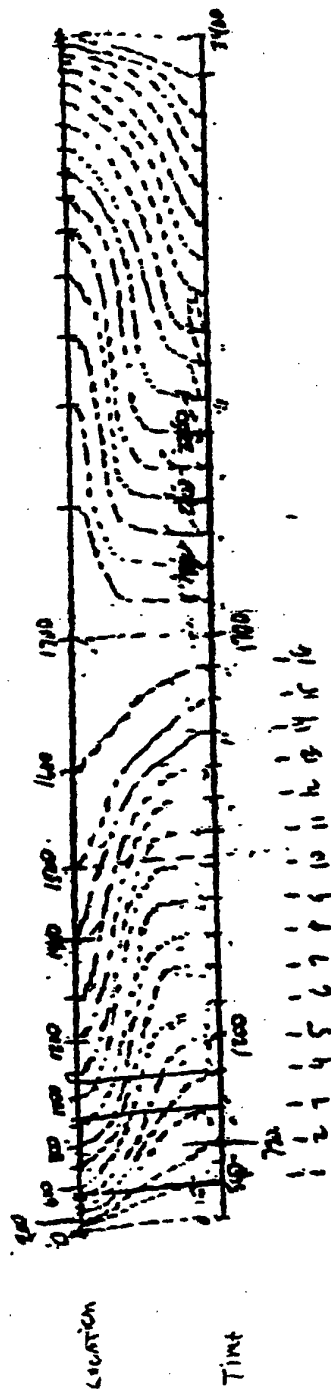


FIG 25



F1626



F1627

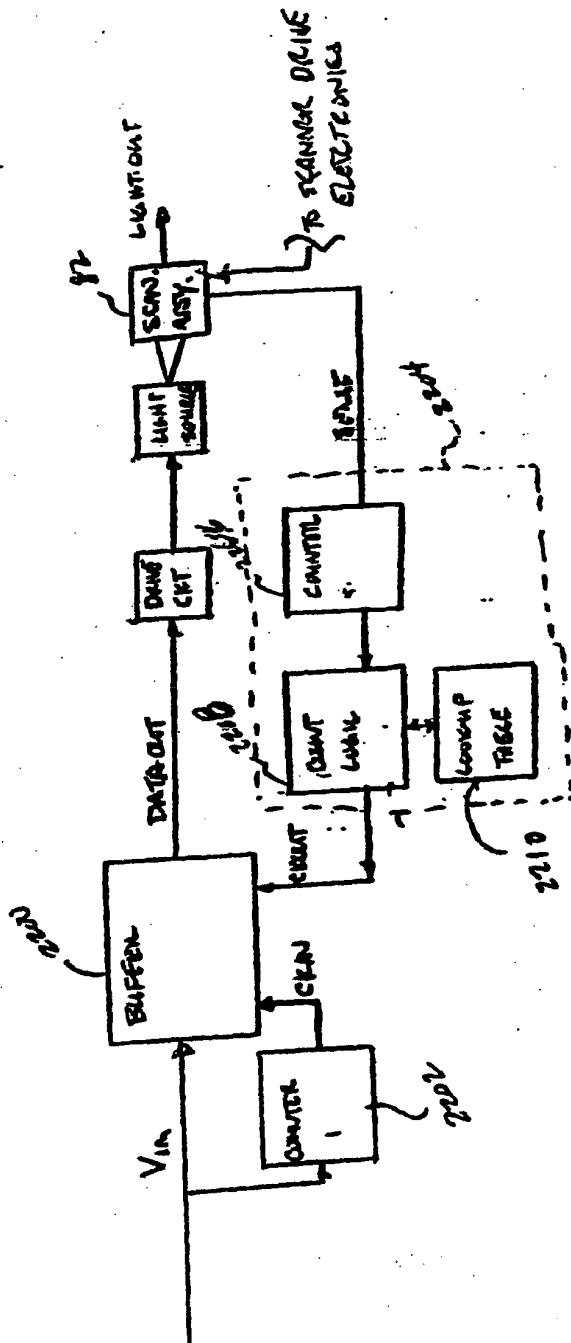
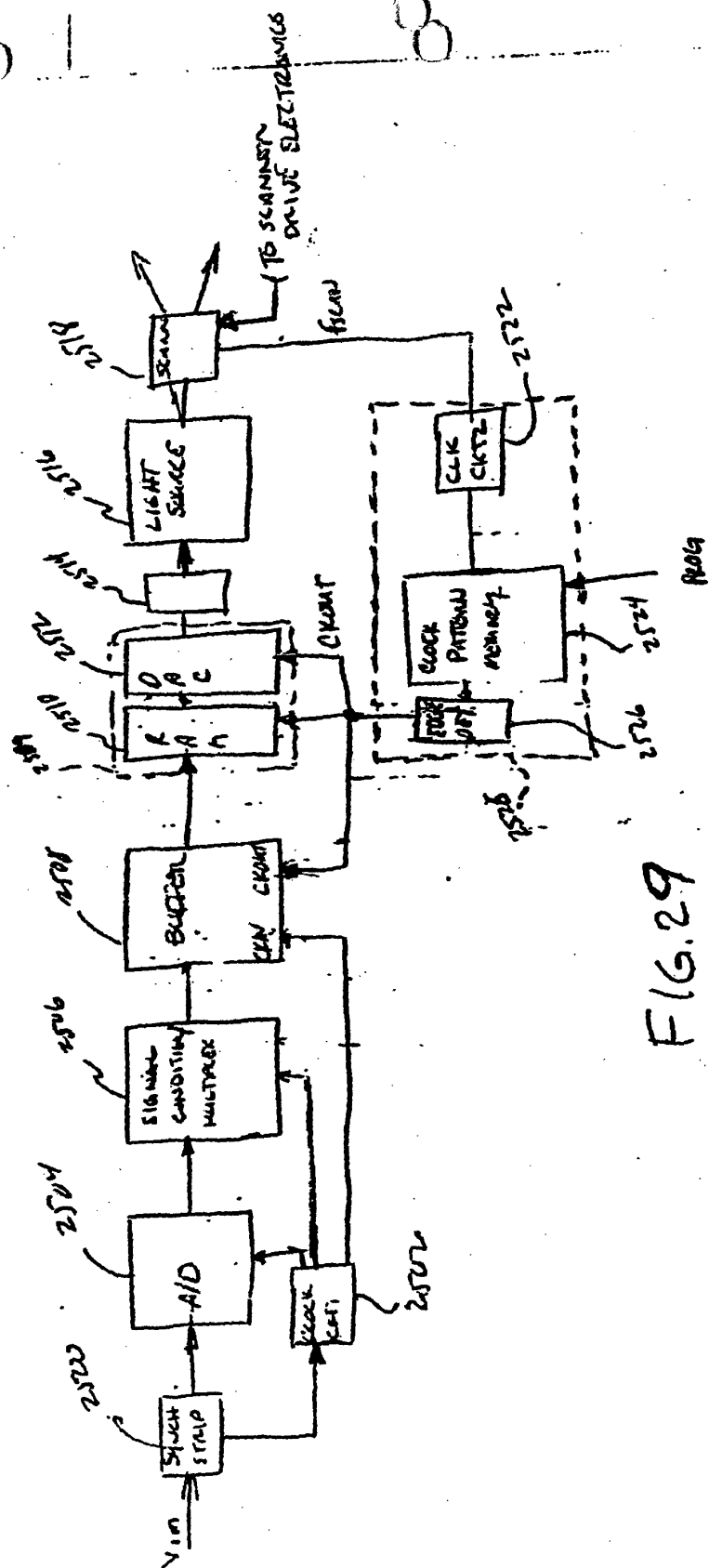


FIG 28



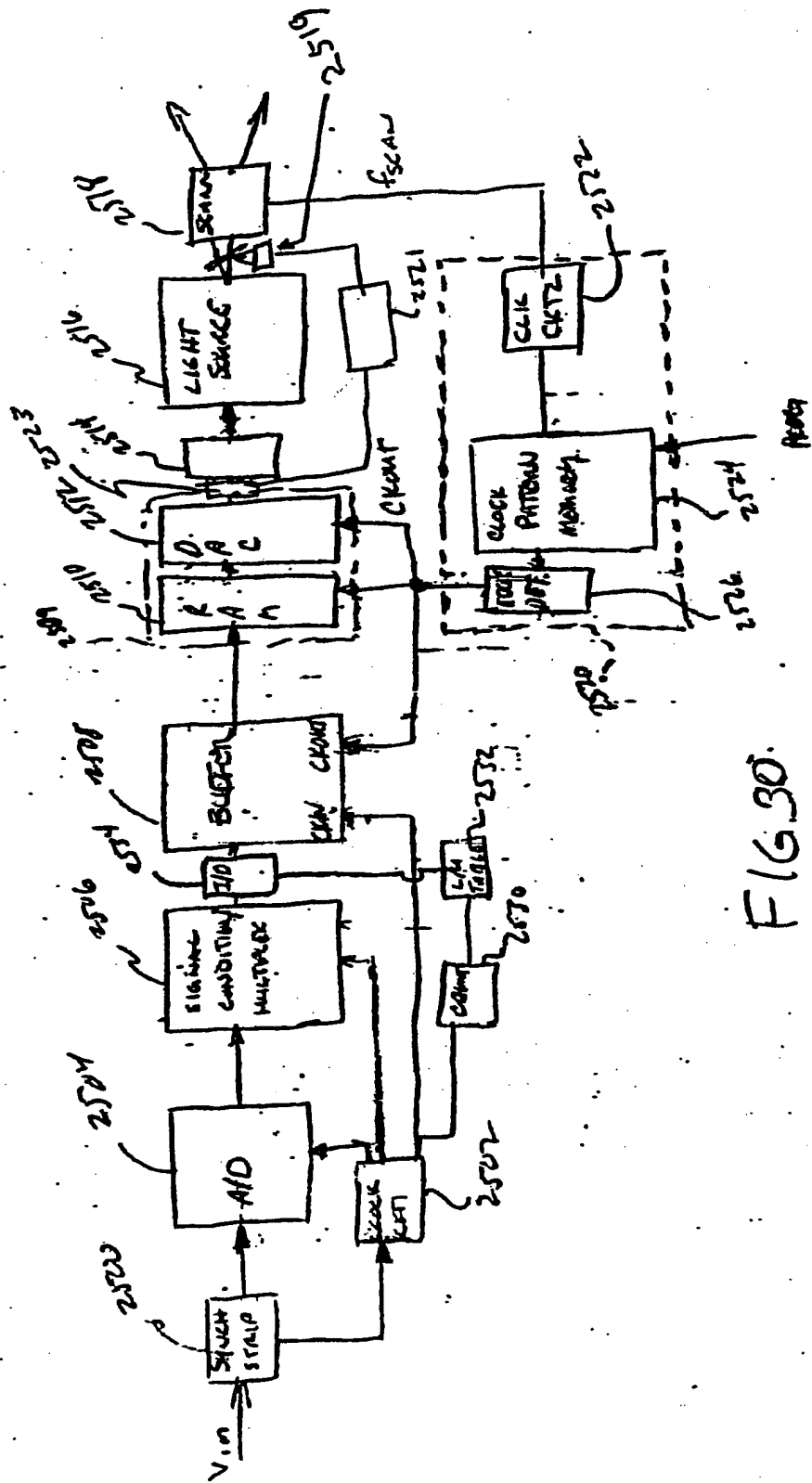
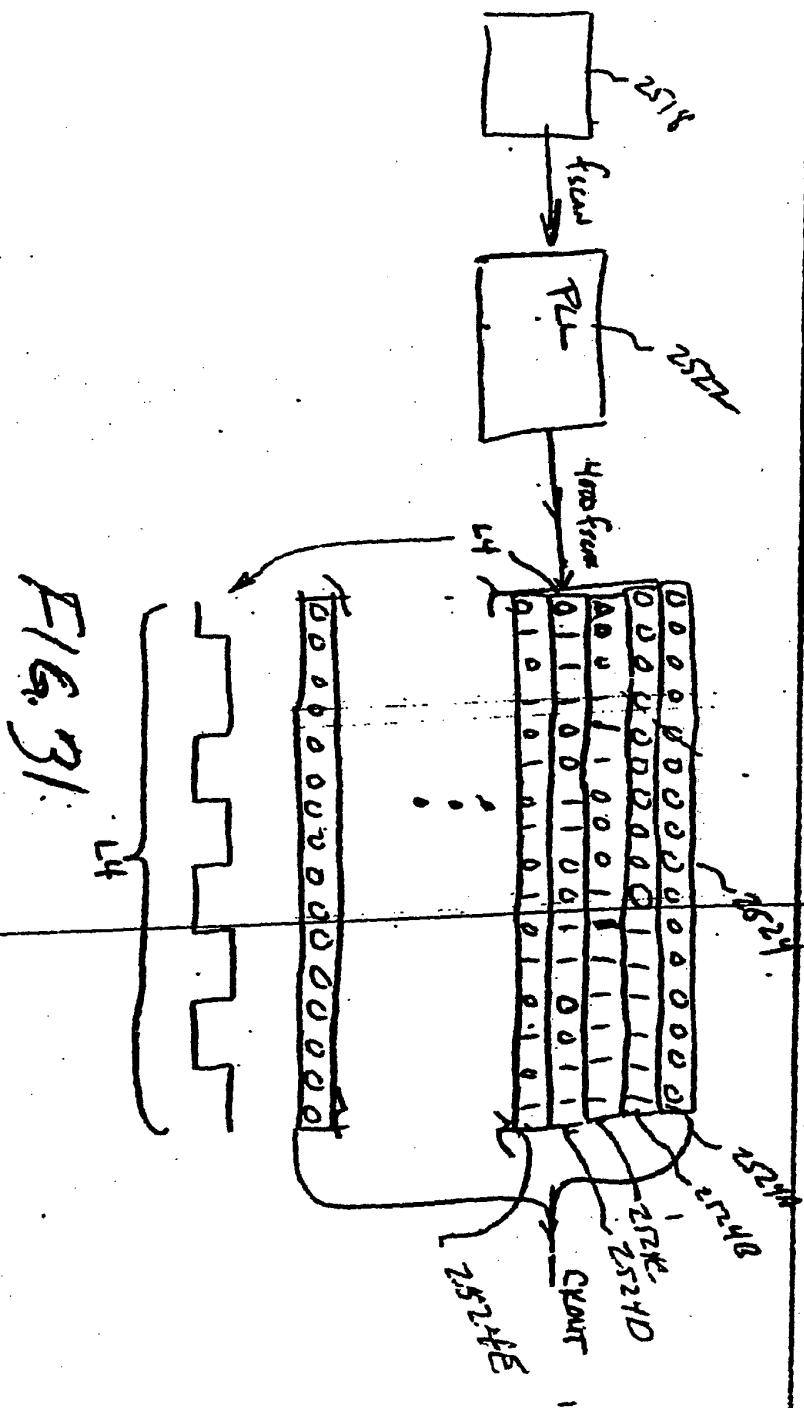


FIG. 30.



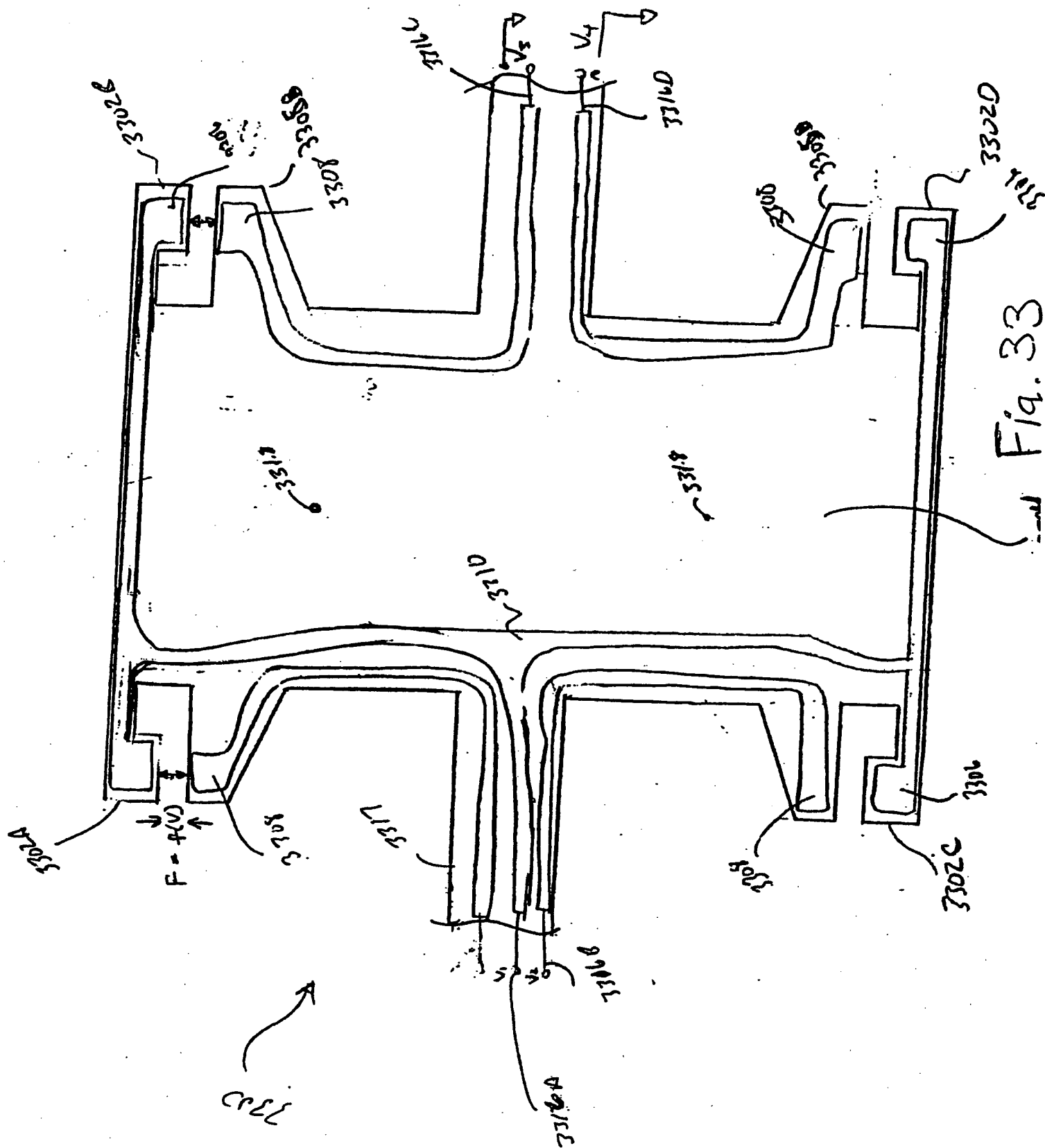
7203

7204

7206

B_{10}	B_{11}	B_{12}	0	0	0	0	0	0	0	0	0
B_{10}	B_{11}	B_{12}	B_{13}	B_{14}	B_{15}	B_{16}	B_{17}	0	0	0	0
B_{10}	$B_{12,3}$	$B_{12,2}$	B_{17}	B_{14}	B_{15}	B_{16}	B_{17}	B_{14}	B_{15}	B_{16}	B_{17}

F16.32



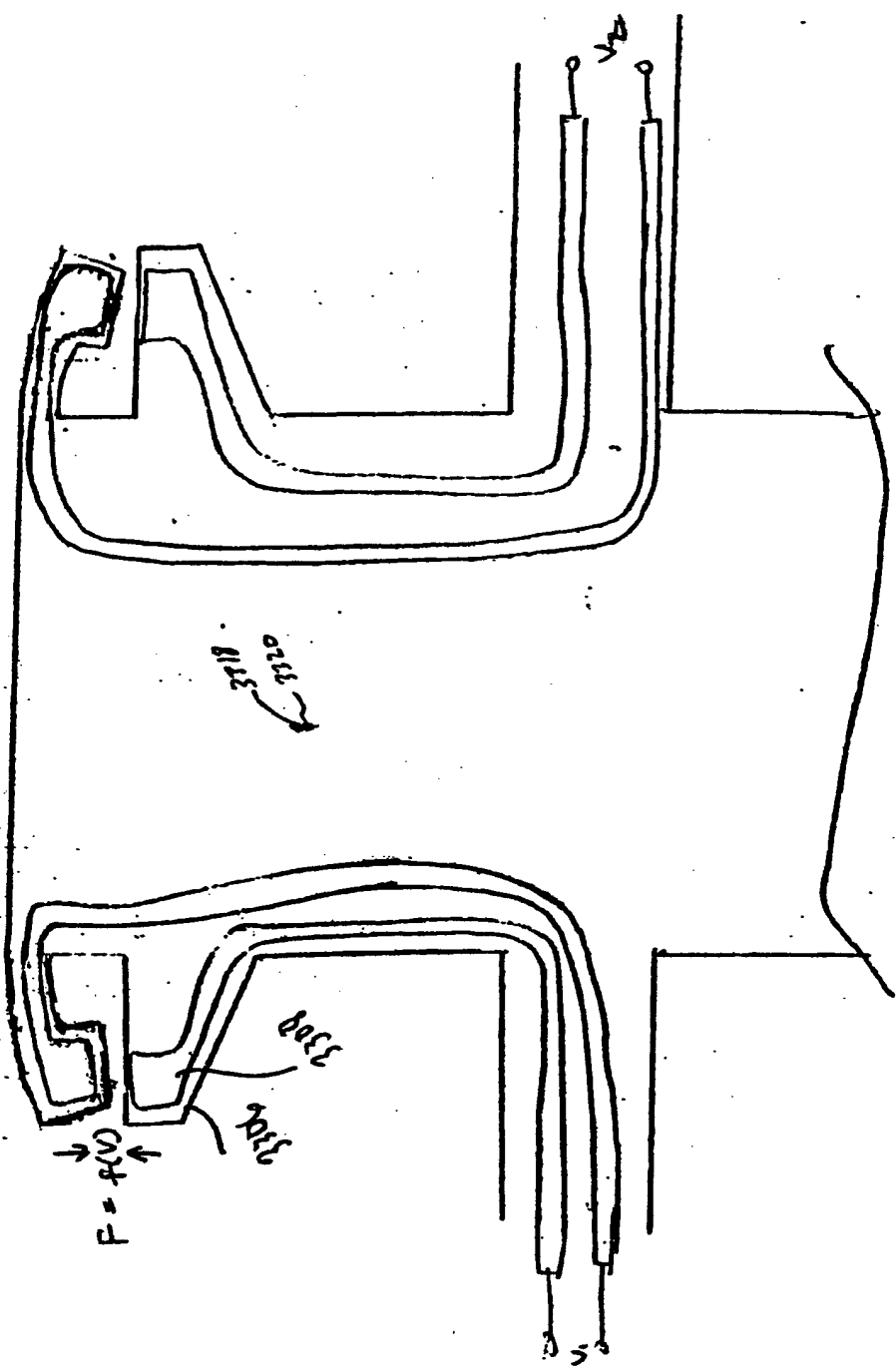
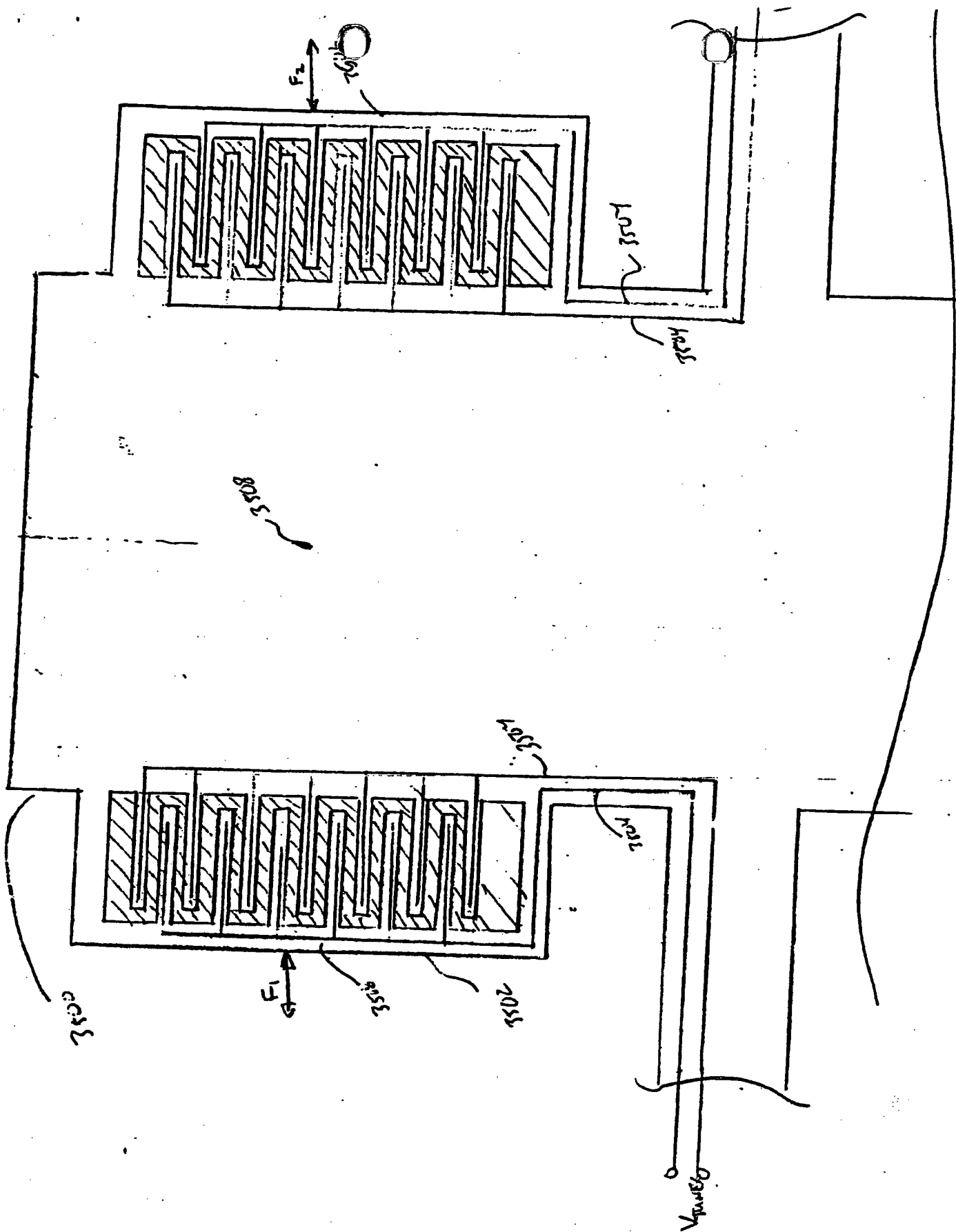
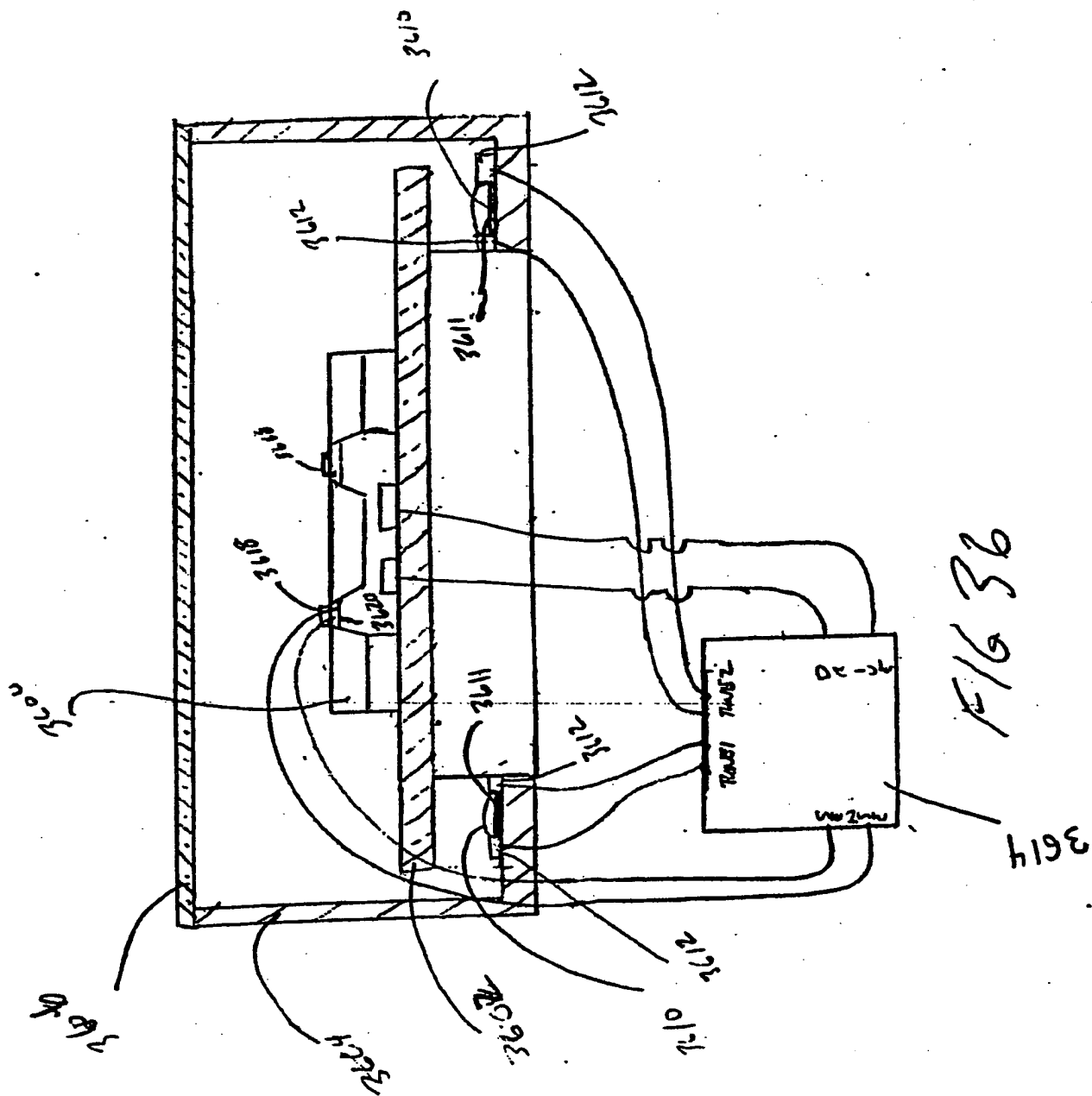


FIG 34



F/G 35



8

8

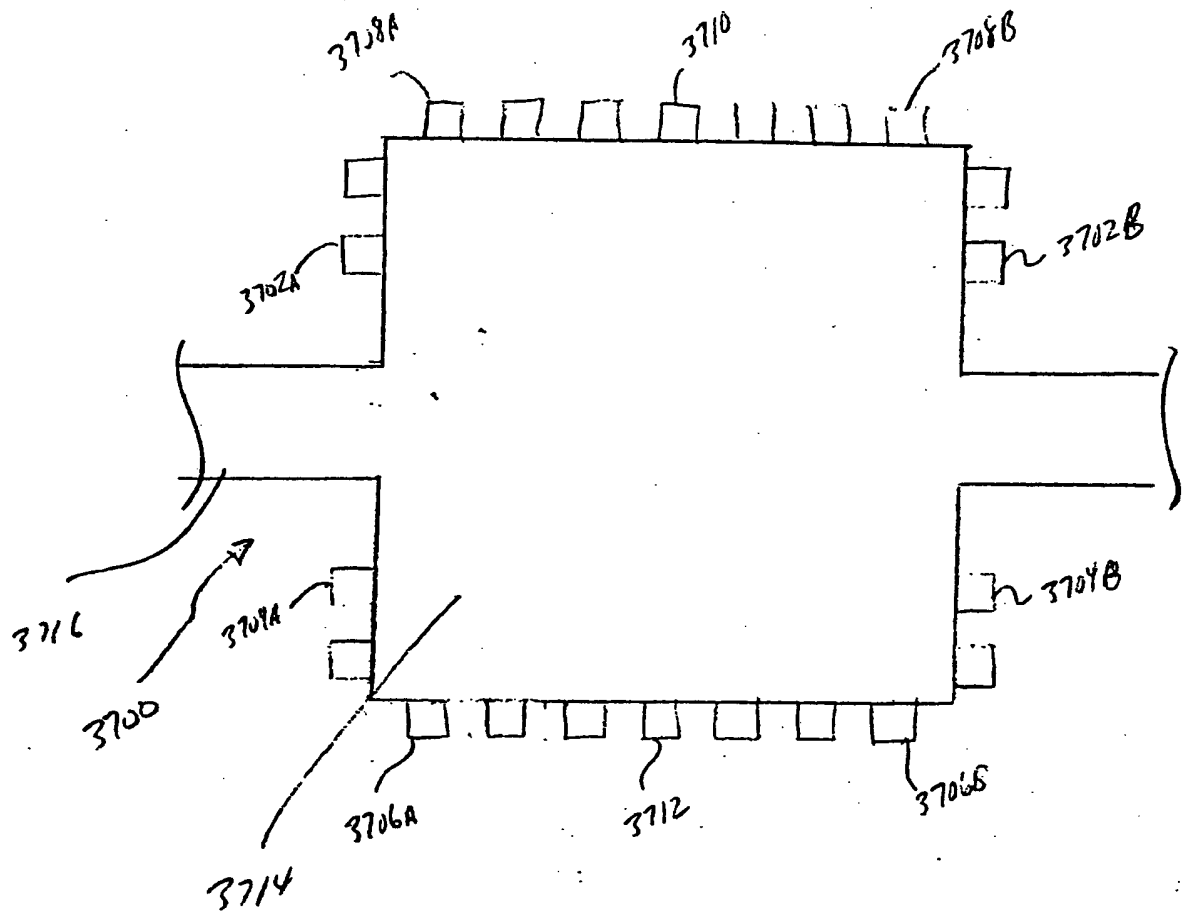
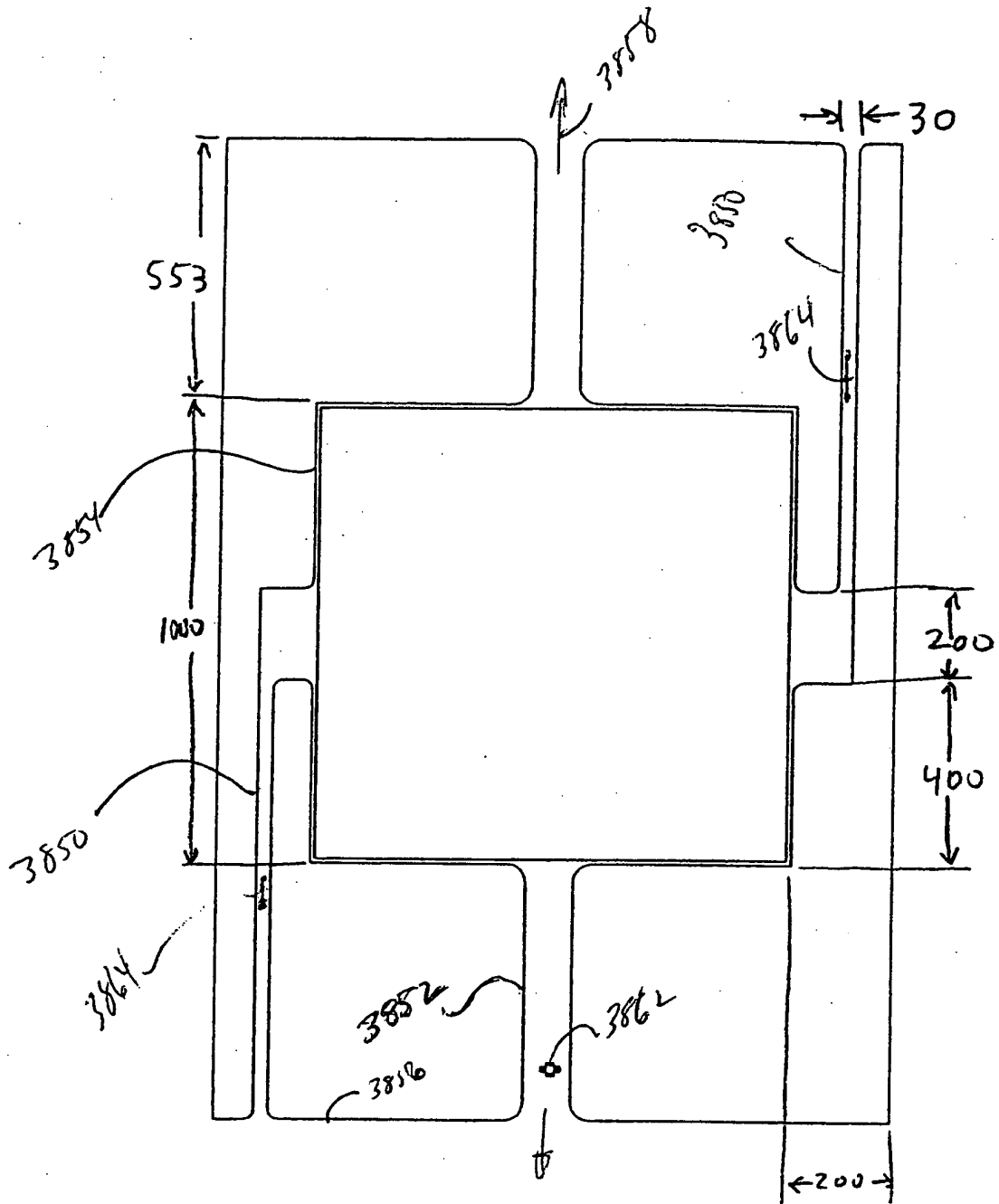


FIG 37

8

8



F16 38

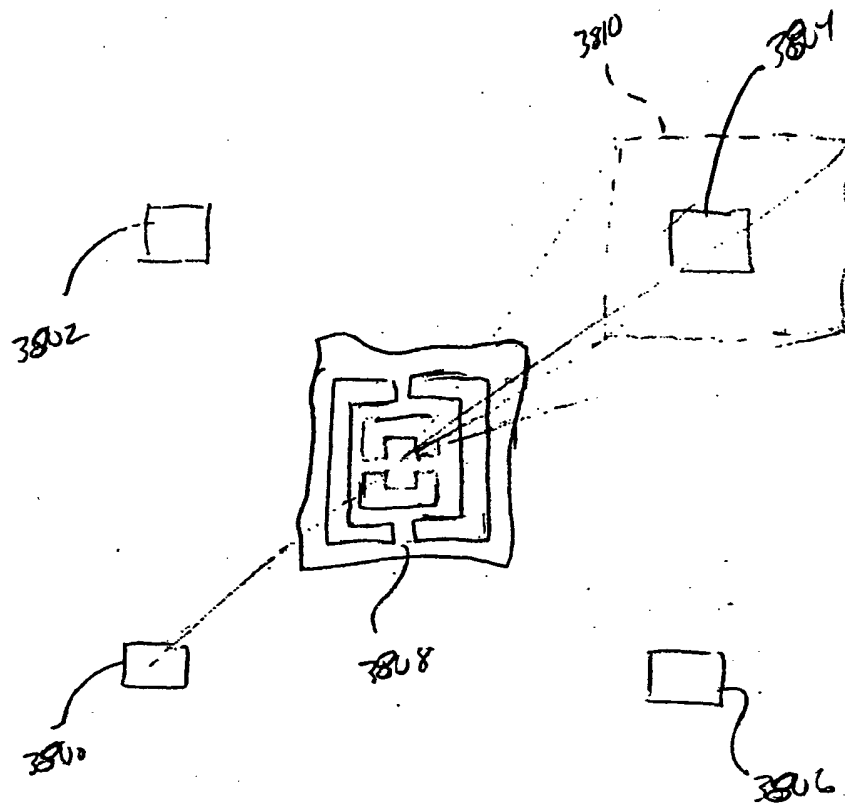


FIG 39

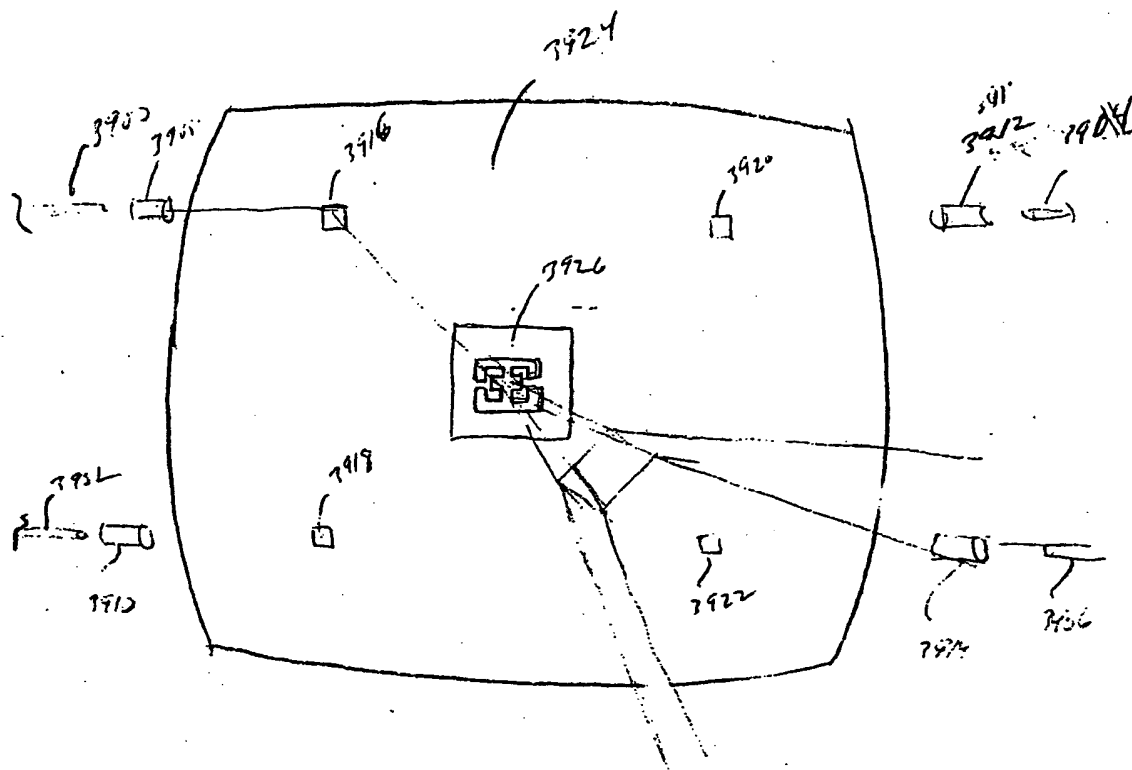


FIGURE 40

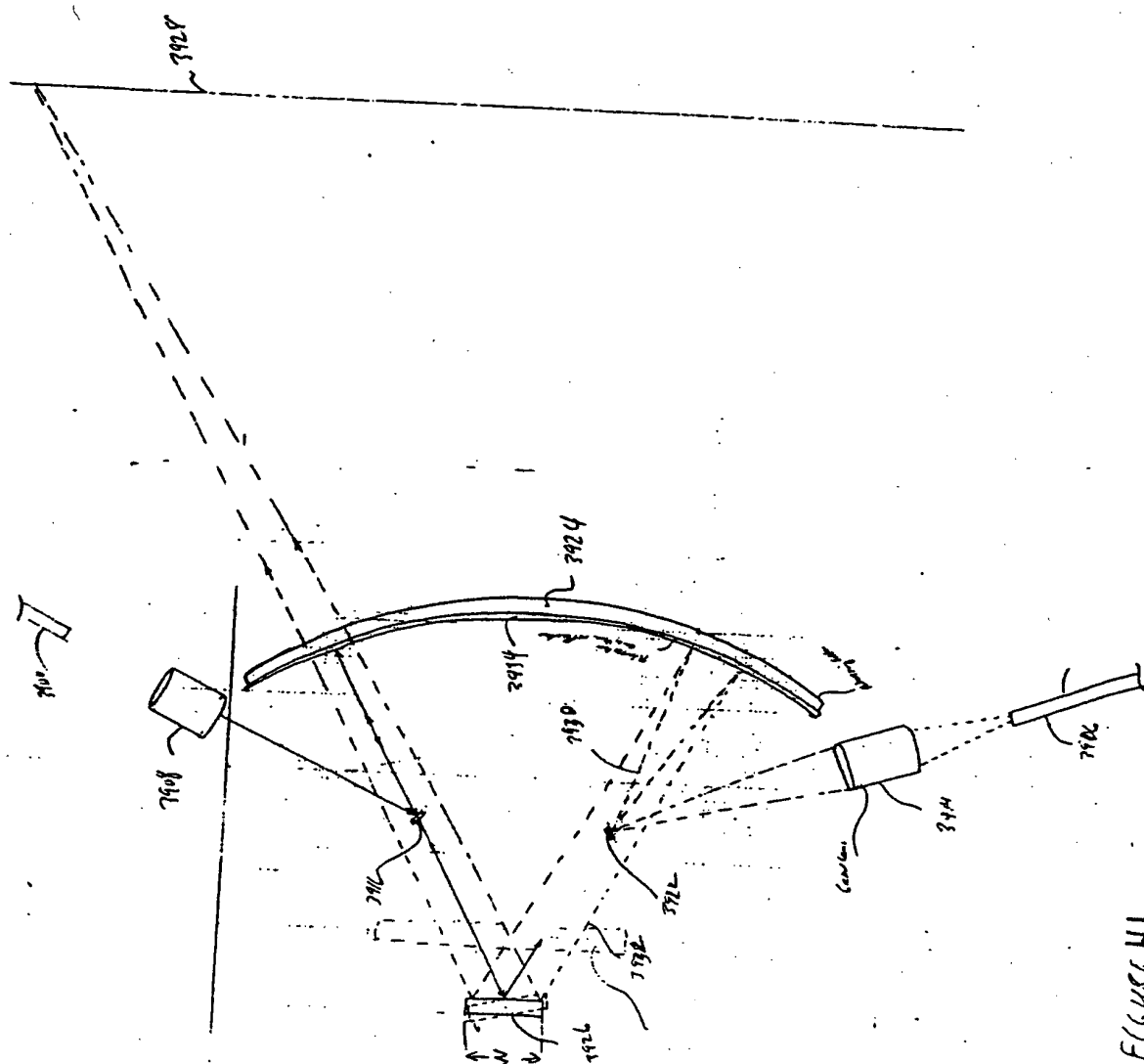


Figure 41

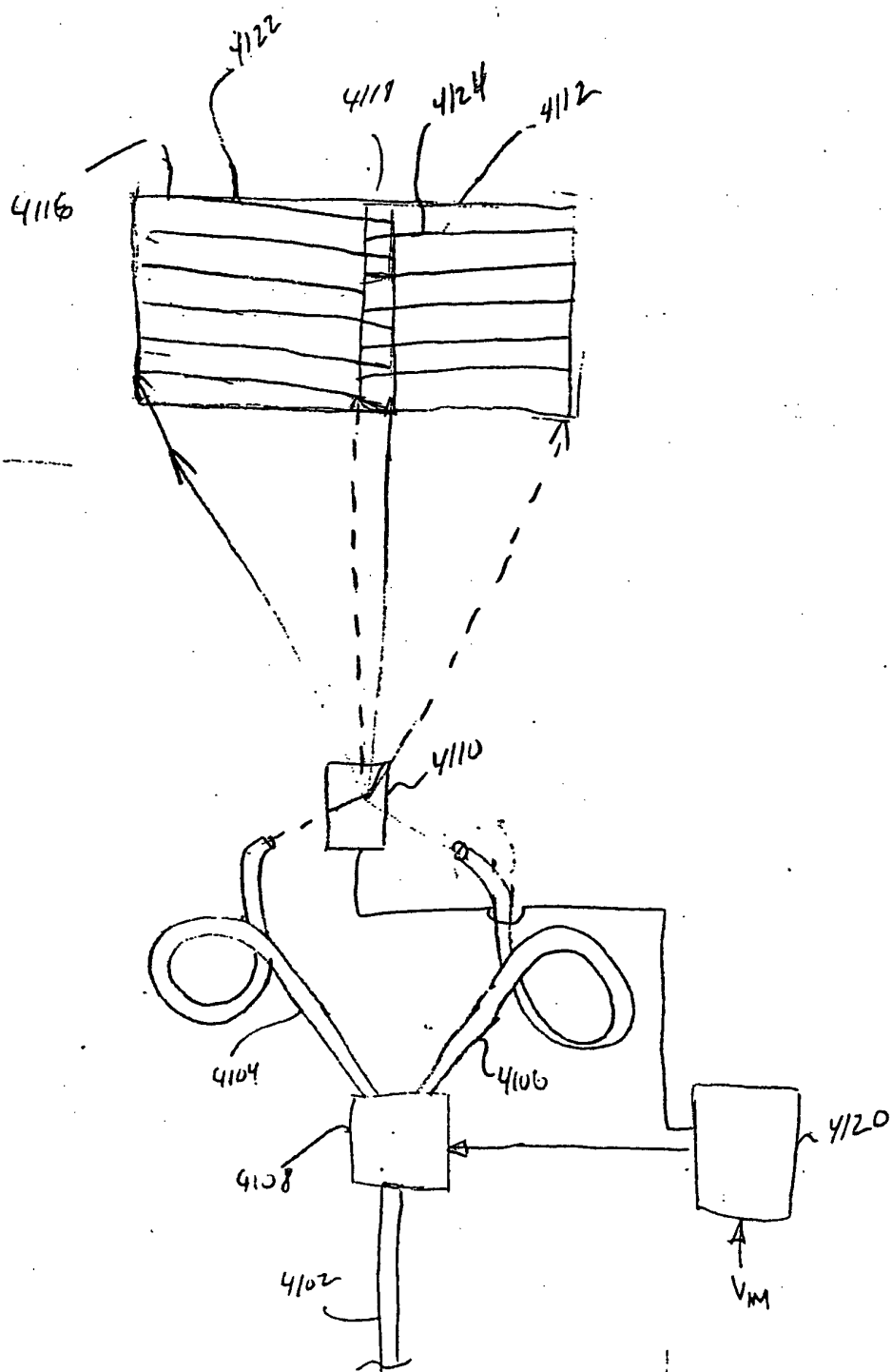


FIG 42

